

第4章 ダッチアイリスにおけるアントシアニン配糖化およびアシル化遺伝子の単離と解析

近年、多くの植物種において遺伝子組み換えによる花色の改変が試みられている (Tanaka and Brugliera 2006)。各種のアントシアニン生合成遺伝子はそれ自体が遺伝子組み換えにおける分子ツールとして必須なばかりでなく、塩基配列と酵素の特性との関連性を解明することにより花色を自由に操作することができる可能性を秘めている。このため、第1章で述べたようにアントシアニンの種類に多様性を与える5GTや3ATなどの修飾酵素は特性調査ばかりでなく、酵素をコードする遺伝子の単離およびその特性解明も精力的に行われている。

第3章においてハナショウブの5GTおよび3ATの特性を明らかにし、本種にアントシアニンの多様性をもたらしている生合成経路の末端部を提案した。しかしながら、ハナショウブを始めとする*Iris* 属植物において、これまでのところアントシアニン配糖化およびアシル化酵素をコードする遺伝子の単離に関する報告はない。

ダッチアイリスは球根アイリスのグループに属し、切り花や庭植えとして広く用いられている*Iris* 属植物の代表的な園芸種である。本種はハナショウブと同様に、青色花弁における主要アントシアニンとして、*delphinidin 3pCRG5G* を含むことが報告されている (Asen *et al.* 1970)。このアントシアニンを生成するためには、5GT、3AT およびこれらをコードする遺伝子が不可欠であるが、これまでのところダッチアイリスではこれらの研究は全く着手されてこなかった。

そこで、本章ではダッチアイリスにおける5GTおよび3ATに関する分子生物学的、生化学的知見を得るため、そのcDNAライブラリーから両遺伝子の単離・解析を行った。

第1節 アントシアニン 5-グルコシルトランスフェラーゼ遺伝子の単離と解析

1. 緒言

アントシアニンおよびアントシアニジンの配糖化酵素はアミノ酸配列に基づいて各グループに分類され、それぞれのグループが基質特異性を反映していることが報告されている(Fukuchi-Mizutani *et al.* 2003)。また、配糖化酵素をコードする cDNA はこれまでに多くの植物種から単離されており(第 1 章)、5GT cDNA クローンもシソ(Yamazaki *et al.* 1999)、バーベナ(*Verbena hybrida*) (Yamazaki *et al.* 1999) およびペチュニア(Yamazaki *et al.* 2002)において単離・解析されている。しかしながら、これまでにクローニングされている 5GT cDNA は全て双子葉植物に由来するものであり、未だ单子葉植物からは単離されていない。

そこで、本節ではダッチャアイрисの花蕾から構築した cDNA ライブラリーから 5GT cDNA をクローニングし、その機能解析を試みた。

2. 材料および方法

1) 植物材料

ダッチャアイ里斯の品種「ブルーダイヤモンド」(Fig. 4-1)の市販されている切り花を購入し、その花蕾を採取し-80°Cで保存した。なお、この品種は青紫色花弁に主要アントシアニンとして delphinidin 3pCRG5G を有していた(Imayama *et al.* 2004)。

2) cDNA ライブラリーの構築

Tanaka *et al.* (1995) の方法に従ってダッチャアイ里斯の花蕾から抽出した Total RNAs から、Oligotex-dT30 Super Kit (Roche Diagnostics) を用いて

poly(A)⁺RNAを精製した。本種のcDNAライブラリーは、ZAP-cDNA Synthesis Kit (Stratagene)を用いて、その使用説明書に従って操作し構築した。

3) 5GT cDNA のスクリーニングおよび塩基配列の決定

ダッチャイリス cDNA ライブラリーからの 5GT cDNA のスクリーニングは、プラークハイブリダイゼーション法によった。cDNA ライブラリーは NZY プレート(7.5×12cm 角型シャーレ、NZY 寒天培地:1% NZ Amine, Type A、0.5% Yeast Extract、0.5% NaCl、1.5% Agar)1枚当たり約 2,500 pfu (plaque forming unit)のプラークを形成させ、これを Hybond-N+メンブレン(GE Healthcare Bio-Sciences)へプロットした。その後、メンブレンを 0.4M NaOH に 20 分間浸することでファージ DNA をメンブレンに固定し、そのメンブレンを 30% ホルムアミドハイブリダイゼーションバッファー(5×SSC、2 % Blocking reagent (w/v)、0.1 % N-lauroylsarcosine、0.02 % SDS、30% Formamide)中で 42 °C、1 時間プレハイブリダイゼーションを行った。次に、キンギョソウ 3GT cDNA をプローブとして添加したハイブリダイゼーションバッファー中で、42 °C、6 時間以上ハイブリダイゼーションを行った。ハイブリダイゼーション終了後、メンブレンの洗浄は 1 次洗浄液(2×SSC、0.01 % SDS)中で 55 °C、20 分間(10 分×2 回)、さらに 2 次洗浄液(0.1×SSC、0.01 % SDS)中で 55 °C、30 分間(15 分×2 回)行った。なお、プローブ DNA は DIG DNA labeling and detection kit(Roche Diagnostics)を用いて、ジゴキシゲニン-dUDP によるランダムプライムラベリングシステムによる標識後、NBT/BCIP により発色し検出した。

スクリーニングで得られたポジティブクローンは λ ファージベクターから Rapid Excision Kit(Stratagene)を用いて、5GT ホモログインサートを含む pBluescript (pIh5GT)を切り出した。切り出しによって得られたコロニーを 50 µg/ml のアンピシリ



Fig. 4-1. Flowers of *I. hollandica* cv. Blue Diamond.

ンを含む LB 培地(1% Bacto-Tryptone、0.5 % Yeast Extract、1% NaCl; pH7.0)中に 37°Cで一晩振盪培養し、FlexiPrep Kit(GE Healthcare Bio-Sciences)を用いてプラスミド DNA を抽出・精製した。得られたプラスミド DNA は M13 Primer(タカラバイオ株式会社)を用いて BigDye Terminator v3.1 Cycle Sequencing Kit (Applied Biosystems)によりサイクルシークエンシング反応を行い、ABI PRISM 310 Genetic Analyzer(Applied Biosystems)で塩基配列を決定した。

4) アミノ酸配列の解析

決定された塩基配列を基に NCBI の BLAST でデータベースとの相同性を検索し、推定アミノ酸配列の相同性および分子質量の算出、マルチプレアライメントの作製は GENETYX-WIN で行った。また、Clustal W(Thompson *et al.* 1994)による分子系統樹解析は近隣接合法(Saitou and Nei 1987)によった。

5) 大腸菌における異種発現

pIh5GT を鋳型とし、クローニング用プライマーセット(5'-AAAGGATCCATGGC-GAAGCAGCACTTCC-3' および 5'-TATGGTACCCCTAGTTCCCTCCGACG-ACG-3')を用いて、Ih5GT の ORF の 5'および 3'末端にそれぞれ *BamH I* および *Kpn I* サイトを構築した。この PCR 産物を pQE30(QIAGEN)の *BamH I-Kpn I* に組み込み、pQE30Ih5GT とした。pQE30Ih5GT および pREP4 を導入した大腸菌(菌株 M15)を、25 µg/ml カナマイシンおよび 100 µg/ml アンピシリンを含む LB 培地中で 37°C、一晩前培養した。5ml の終夜培養物を 100 ml の LB 培地(25 µg/ml カナマイシンおよび 100 µg/ml アンピシリンを含む)に接種し、37°Cで 2 時間培養した後、IPTG(Isopropyl thio-β-D-galactoside)を終濃度 1 mM になるように加えて、

25°Cで 48 時間培養した。遠心分離によって菌体を回収し、1 mM ジチオスレイトール(DTT)を含む 0.1 M KPi バッファー(pH 7.0)2 ml に懸濁した。懸濁液は TA-4201 型超音波破壊装置(株式会社カイジョー)を用いて氷上で 20 秒間超音波処理し、破碎液を 5°C、14,000 rpm で 10 分間遠心分離して一次上清を回収した。一次上清を再度 5°C、14,000 rpm で 10 分間遠心分離して回収した二次上清を粗酵素液として以後の試験に用いた。また、インサートを含まない、空の pQE30 で形質転換した大腸菌から調製した抽出液をコントロールとして使用した。

6) SDS-PAGE およびウェスタンプロッティング

SDS-PAGE は Mini Protian III electrophoresis unit(Bio-Rad)を用い、取扱説明書に従って行った。サンプルの電気泳動には 10 %ポリアクリラミドゲルを使用し、Coomassie Brilliant blue R-250 で染色を行った。ウェスタンプロッティングには Mini Trans-blot apparatus(Bio-Rad)を用い、SDS-PAGE ゲル中のタンパク質を Hybond-ECL ニトロセルロースメンブレン(GE Healthcare Bio-Sciences)へ移した。メンブレンは 10%スキムミルクを含む PBS(80 mM Na₂HPO₄、20 mM NaH₂PO₄、100 mM NaCl; pH7.5) 中で 1 時間、室温で振盪してブロッキングを施した。10%スキムミルクを含む PBS で 3,000 倍に希釈した一次抗体溶液(Anti-His Antibody: GE Healthcare Bio-Sciences)中にメンブレンを 1 時間浸漬し、0.05 %Tween-20 を含む PBS で 3 度洗浄を行った。続いて、7,500 倍に希釈した二次抗体溶液(Goat Anti-Mouse IgG (H+L), AP Conjugate: Promega)に 1 時間メンブレンを浸漬して、0.05 %Tween-20 を含む PBS で 3 度洗浄し、NBT/BCIP による発色反応でシグナルを検出した。

7) 組換え酵素の *in vitro* アッセイ

5GT の酵素アッセイに用いた標準反応液の組成は 100 μ l 当たり 10 μ l 粗酵素液、500 μ M cyanidin 3RG、1,200 μ M UDP-グルコースおよび 0.1 M KPi バッファー (1 mM DTT を含む、pH6.5) であった。酵素反応を 30 °C で 10 分間行った後、Folch *et al.* (1957) の方法によりその反応を停止させた。アッセイにより得られた最終産物のアントシアニンは、HPLC で cyanidin 3RG5G 標品とのコクロマトグラフィーにより確認した。HPLC の分析条件は第 2 章に示したとおりである。

3. 結果および考察

ダッチアイリスの 5GT cDNA をクローニングするため、花蕾から構築した cDNA ライブラリーをキンギョソウの 3GT cDNA をプローブとしてスクリーニングした。得られた 38 個のポジティブクローンについて塩基配列を決定し、NCBI の BLAST を用いてデータベースを検索したところ、18 クローンが既知の 5GT と高い相同意を示した。これらのうち、N 末端の開始メチオニンをコードしていると推定されるクローンをダッチアイリスの 5GT cDNA (以下 *Ih5GT*、GenBank accession no. AB113664) として以降の実験に用いた。

Ih5GT cDNA は 1,568bp の塩基からなり、その ORF は 463 のアミノ酸をコードしていた。*Ih5GT* の推定アミノ酸配列はシソ (AB013596、Yamazaki *et al.* 1999)、バーベナ (AB013598、Yamazaki *et al.* 1999)、ペチュニア (AB027455、Yamazaki *et al.* 2002) およびトレニア (*Torenia* hybrid cultivar) (AB076698) の 5GT とそれぞれ 38.8、38.2、37.8 および 35.1% の相同意を示した (Fig. 4-2)。また、推定アミノ酸配列から算出した *Ih5GT* タンパク質の分子質量は 50,128Da であり、ウェスタンプロット分析においても大腸菌の菌体内で異種発現した組換え *Ih5GT* の分子質量が約

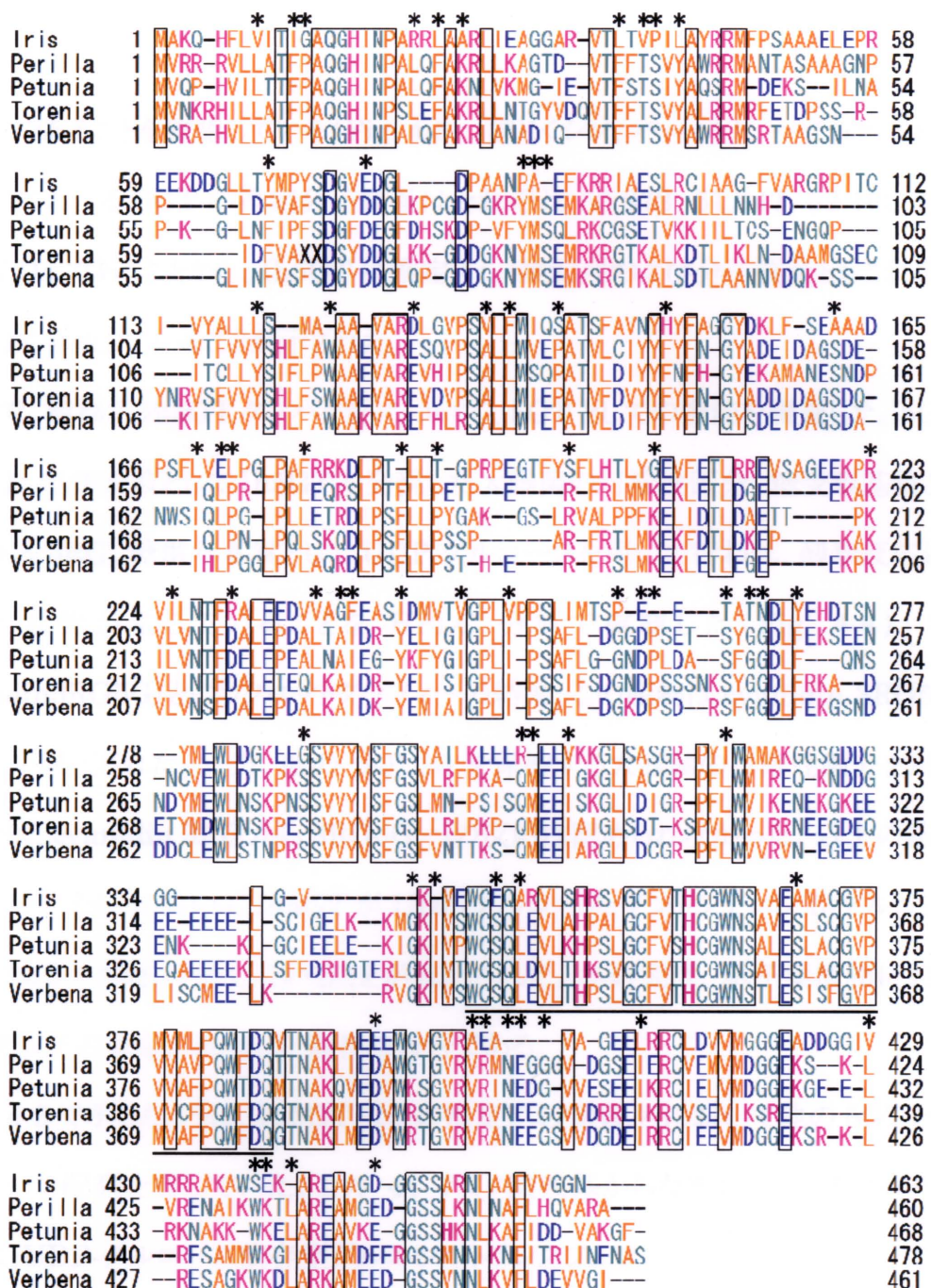


Fig. 4-2. Multiple alignment of deduced amino acid sequences of Ih5GTs. Framed letters indicate identical amino acids. Identical amino acid residues (*) in all dicot species except Iris are marked. The letters indicated as same colours mean similar amino acid residues, respectively. The underline shows the common motif found in glucosyltransferases. GenBank accession numbers of the 5GTs: Iris (AB113664); Perilla (AB013596); Petunia (AB027455); Torenia (AB076698); Verbena (AB013598).

50kDaであることを確認している(Fig. 4-3)。同じくシソ、バーベナ、ペチュニアおよびトレニアにおける5GTの推定分子質量はそれぞれ50,973、51,347、52,163および54,257 Daであることから、*Ih5GT*は推定アミノ酸配列および分子質量ともこれまでの報告とよく合致していることが示された。

そこで、組換え*Ih5GT*タンパク質について、5GTとしての機能を調査した。5GTアッセイは、粗酵素液として*Ih5GT*を発現した大腸菌の可溶性画分、糖受容基質としてcyanidin 3RG、糖供与基質としてUDP-グルコースを用いて行われ、酵素反応により新規化合物が生じていることをHPLC分析で確認した(Fig. 4-4)。標品(cyanidin3RG5G)とのクロマトグラフィーの結果、この産物はcyanidin 3RG5Gであることが同定された。一方、空のpQE30を保持する大腸菌の可溶性画分を用いた試験では、cyanidin 3RGから3RG5Gへの反応は認められなかった。以上の結果から、ダッチアイリスにおいて*Ih5GT*が UDP-グルコース:アントシアニン 5-グルコシルトランスフェラーゼをコードしていることが確認された。本研究は、单子葉植物において5GT遺伝子の単離に成功した最初の報告である。

Fig. 4-2で示したように、*Ih5GT*はその推定アミノ酸配列において他の5GTと共通のモチーフ配列を有していた。この44アミノ酸残基からなるモチーフ配列(PSPG box)は UDP-グルコース依存型グルコシルトランスフェラーゼファミリーにおいて高度に保存されており、UDP-グルコースの結合サイトとして働くと考えられている(Yamazaki *et al.* 1999, 2002)。このモチーフの他にも複数のアミノ酸残基が5GT間で保存されており、また他のいくつかは*Ih5GT*以外の双子葉植物の5GTでのみ保存されていた。

様々な植物のグリコシルトランスフェラーゼのアミノ酸配列に基づく分子系統樹においても、*Ih5GT*は双子葉植物のサブグループとは隔たりがあるものの、5GTのグルー

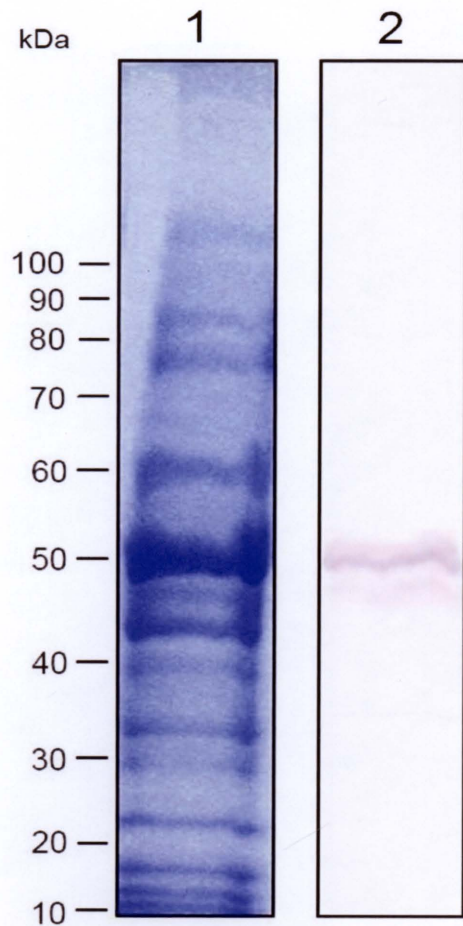


Fig. 4-3. Analysis of SDS-PAGE (1) and Western blotting (2) of recombinant Ih5GT protein expressed in *Escherichia coli*.

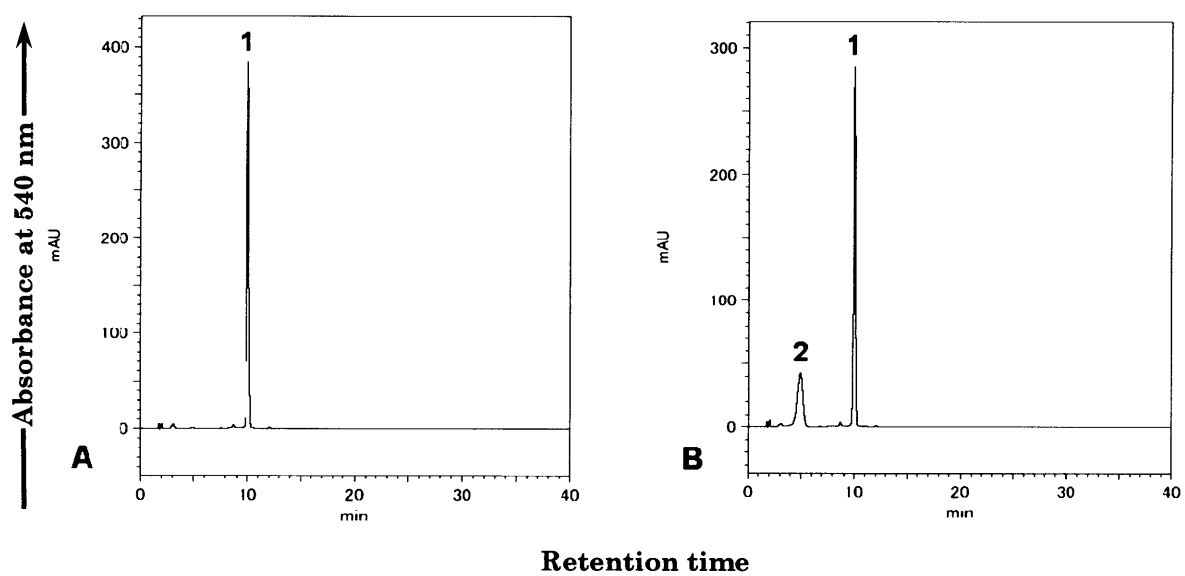


Fig. 4-4. High-performance liquid chromatographic analysis of reaction products catalyzed by Ih5GT. A: The control (UDP-glucose was omitted from the reaction mixture). B: The reaction product of Ih5GT (UDP-glucose was added in the reaction mixture). Peak numbers 1 and 2 show cyanidin 3RG and cyanidin 3RG5G, respectively.

プに属していることが示された(Fig. 4-5)。Ih5GTと双子葉植物の5GTとの間の進化距離は単子葉植物の3GTと双子葉植物の3GTとの間の進化距離と同等のものであった。以上の結果から、これらのGTは単子葉植物と双子葉植物とが種分化する以前に分化していたことが示唆された。

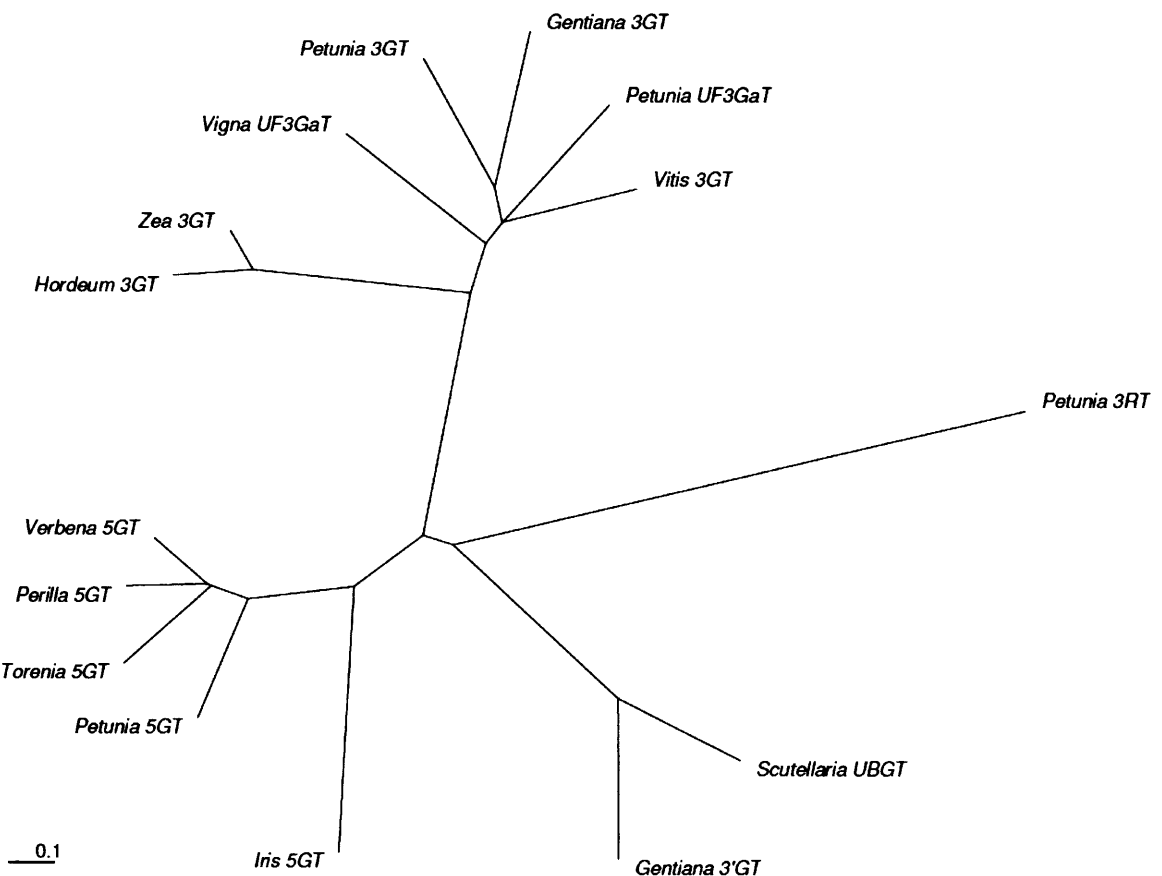


Fig. 4-5. A molecular phylogenetic tree of the deduced amino acid sequences of 5GTs, 3GTs and related glycosyltransferases. The tree was constructed by the neighbor-joining method. The lengths of the lines indicate the relative distances between nodes. Enzymes used for the alignment were as follows: *Perilla* 5GT (AB013596); *Petunia* 5GT (AB027455); *Torenia* 5GT (AB076698); *Verbenae* 5GT (AB013598); *Iris* 5GT (AB113664); *Hordeum* 3GT (X15694); *Zea* 3GT (X13501); *Vitis* 3GT (BAB41019); *Petunia* 3GT (AB027454); *Gentiana* 3GT (D85186); *Petunia* 3RT (X71059); *Gentiana* 3'GT (AB076697); *Petunia* UF3GaT (AF165148); *Vigna* UF3GaT (AB009370); *Scutellaria* UBGT (AB031274).

4. 摘要

ダッチアイリスのアントシアニン配糖化酵素、5GT をコードする cDNA を単離し、その特性を解明するため、その花蕾から構築した cDNA ライブラリーをスクリーニングし、*5GT* 遺伝子のクローニングと機能発現解析を行った。

得られたダッチアイリスの *5GT* cDNA (*Ih5GT*) は 1,568bp の塩基からなり、その ORF は 463 のアミノ酸をコードしていた。*Ih5GT* の推定アミノ酸配列は他植物種の 5GT と高い相同意を示し、推定アミノ酸配列から算出される分子質量(50,128Da)もこれまでの報告と良く合致していた。また、大腸菌において異種発現させた組換え *Ih5GT* は UDP-グルコースから cyanidin 3RG の 5 位へのグルコース転移を触媒し、cyanidin 3RG5G を生成した。これに対して、コントロール区ではこのような反応は認められなかったことから、ダッチアイリスにおいて *Ih5GT* が UDP-グルコース:アントシアニン 5-グルコシルトランスフェラーゼをコードしていることが確認された。さらに、様々な植物種のグリコシルトランスフェラーゼのアミノ酸配列に基づく分子系統樹解析においても、*Ih5GT* は双子葉植物のサブグループとは隔たりがあるものの、5GT のグループに属していることが示された。

第2節 アントシアニン 3-アシルトランスフェラーゼ遺伝子の単離と解析

1. 緒言

アントシアニンのアシル化には、*p*-クマル酸、コーヒー酸などの芳香族有機酸とマロン酸、コハク酸などの脂肪族有機酸による二種類が関与している。これまでの研究により、アントシアニン芳香族アシル基転移酵素をコードする cDNA はリンドウ (Fujiwara *et al.* 1998) およびシソ (Yonekura-Sakakibara *et al.* 2000) から、一方アントシアニン脂肪族アシル基転移酵素の cDNA はサルビア (*Salvia splendens*) (Suzuki *et al.* 2001, 2004a)、ダリア (Suzuki *et al.* 2002)、シネラリア (*Senecio cruentus*) (Suzuki *et al.* 2003) およびキク (*Dendranthema × morifolium*) (Suzuki *et al.* 2004b) から単離され、その特性が明らかにされている。しかしながら、アントシアニンアシルトランスフェラーゼ (AAT) をコードする cDNA は、これまで全て双子葉植物においてクローニングされたものであり、单子葉植物における AAT cDNA のクローニングに関する報告は見当たらない。

そこで、本節ではダッチャアイрисの cDNA ライブラリーから 3AT cDNA をクローニングし、その機能解析を行った。

2. 材料および方法

1) 3AT cDNA のスクリーニングおよび塩基配列の決定

前節で構築したダッチャアイрис cDNA ライブラリーからの 3AT cDNA 単離は、PCR ベースドスクリーニングにより行った (Fig. 4-6)。まず、既知の AAT のアミノ酸配列において高度に保存されている領域、モチーフ 2 (NYFGNC) の配列を基にフォワード ディジェネレートプライマー、ATCR-FW (5'-AA YTAY TTYGG NAA YTG-3') を、そ

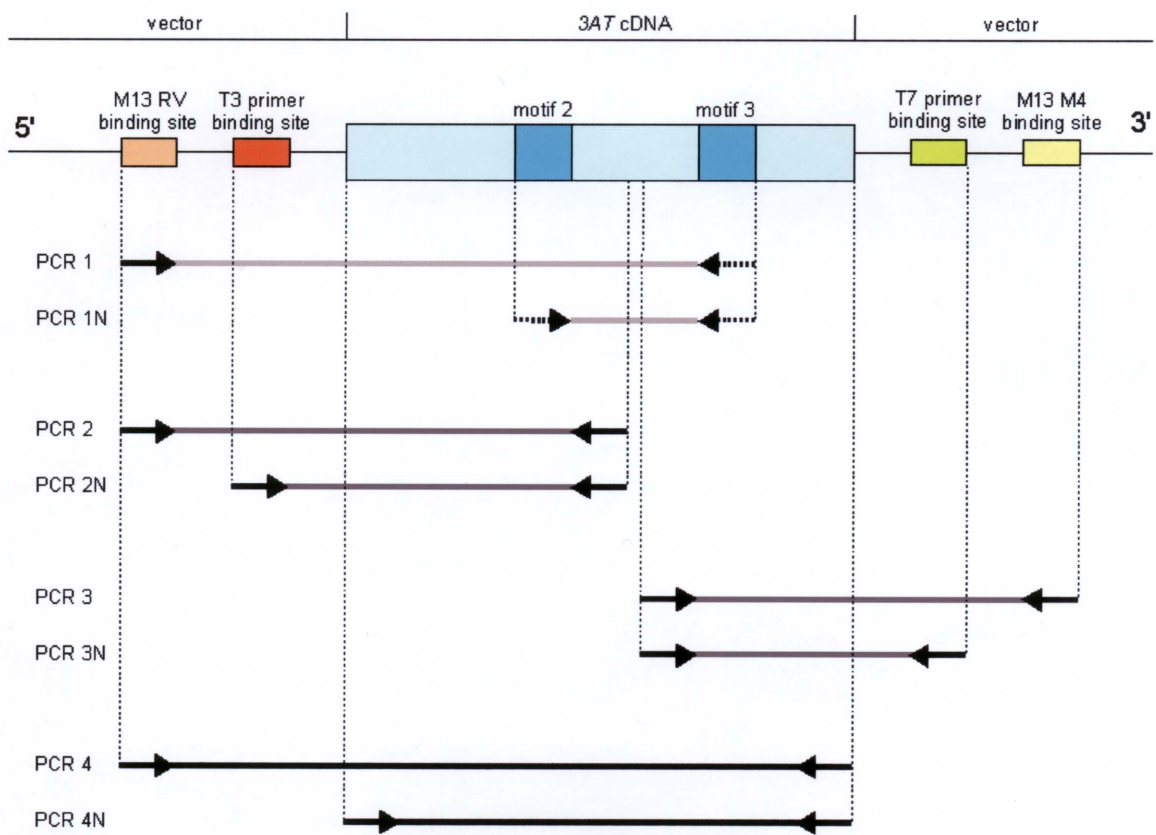


Fig. 4-6. The strategy of screening of *I. hollandica* 3AT cDNA by PCRs.

→ , ← : specific primers

···→ , ···← : degenerate primers

— : amplicons

してモチーフ 3 (DFGWGK) の配列を基にリバースディジェネレートプライマー、ATCR-RV (5'-YTTNCCCCANCCRAARTC-3') を作製した。PCR1はダッチャアイリス cDNA ライブライリー液 (1 μ l) を鑄型とし、1×PCR buffer、1 mM MgSO₄、0.2 mM dNTPs、0.1 μ M M13 Primer RV (5'-CAGGAAACAGCT- ATGAC-3'; タカラバイオ)、0.5 μ M ATCR-RV および 1U KOD -Plus- (東洋紡)からなる 50 μ l 反応系で行った。反応条件は 95 °C 2 分、(95 °C 15 秒、46 °C 30 秒 68 °C 1 分 30 秒)×45 サイクル、4 °C 保持である。さらに、この増幅産物 1 μ l を鑄型として、1×PCR buffer、1 mM MgSO₄、0.2 mM dNTPs、0.5 μ M ATCR-FW、0.5 μ M ATCR-RV および 0.4U KOD -Plus-からなる 20 μ l 反応系でネスティッド PCR、PCR1Nを行った。反応条件は、95 °C 2 分、(95 °C 15 秒、46 °C 30 秒、68 °C 30 秒)×45 サイクル、4°C 保持とした。この反応により得られた反応産物は PCR-TRAP Cloning System (GenHunter Corporation)を用いて PCR-TRAP Vector にクローニングし、ヒートショック法により大腸菌菌株 DH5 α に導入した。形質転換後、20 μ g/ml テトラサイクリンを含む LB 寒天培地 (LB 培地 + 1.5% 寒天) 上に生じたコロニーを 20 μ g/ml テトラサイクリンを含む LB 培地 2 ml に接種して 37°C で終夜培養し、FlexiPrep Kit でプラスミドを精製した。各クローンの塩基配列を決定し、NCBI (National Center for Biotechnology Information) の BLAST (Basic Local Alignment Search Tool; <http://www.ncbi.nlm.nih.gov/BLAST/>) で blastx 検索を行い、植物のアシルトランスフェラーゼと高い相同意を有するものを選抜した。選抜されたアシルトランスフェラーゼホモログの断片クローン (pATFG-7) の内部配列を基に、5'側未知領域を増幅するための特異的プライマー、ATFG7-RV (5'-GATATCTCGGTTGGATG-3') および 3'側未知領域を増幅するための特異的プライマー、ATFG7-FW (5'-GACGTCATAAGGAAGGCTG-3') を設計した。PCR1 と同様にライブライリー液

1 μ l を鋳型とし、1×PCR buffer、1 mM MgSO₄、0.2 mM dNTPs、0.3 μ M M13 Primer RV、0.3 μ M ATFG7-RV および 0.4U KOD -Plus-からなる 20 μ l 反応系で PCR2 を、M13 Primer M4(5'-GTTTCCCCAGTCACGAC-3'; タカラバイオ株式会社)と ATFG7-FW とのプライマーセットで PCR3 を行った。このときの反応条件は 95 °C2 分、(95 °C15 秒、50 °C30 秒、68 °C1 分) \times 30 サイクル、4 °C 保持とした。さらに、PCR2 の増幅産物を鋳型とし、T3 Promoter Primer (5'-ATTAACCCTCACTAAAGGGA-3'; Invitrogen) と ATFG7-RV とのプライマーセットで PCR2N を、また PCR3 の増幅産物を鋳型とし、T7 Promoter Primer (5'-TAATACGACTCACTATAAGGG-3'; Invitrogen) と ATFG7-FW とのプライマーセットで PCR3N を行った。その反応条件は PCR2 および 3 と同じであった。それぞれの PCR で得られた増幅産物を PCR1N 同様 PCR-TRAP Vector にクローニングし、その塩基配列を決定した。PCR1N、PCR2N および PCR3N の増幅断片の塩基配列情報を基に、GENETYX-WIN Version 5.2.3 プログラム (GENETYX CORPORATION) を用いてダッチャアイリス AT のコンティグを作製した。コンティグの塩基配列から導かれる推定アミノ酸配列をもとにダッチャアイリス AT の open reading frame (ORF) を割り出し、ORF を増幅するための特異的プライマー、AT5'FW (5'-ATGAGCTTCACAGTGACAAAG-3') および AT3'RV-KpnI (5'-ATAGGTACCCTACATGAGCGGTGCC-3'; 下線部は *Kpn* I サイト) を設計した。再びライブラー液を鋳型として M13 Primer M4 と AT5'FW とのプライマーセットで PCR4 を行い、さらにその増幅産物を鋳型に AT5'FW と AT3'RV-KpnI とのプライマーセットで PCR4N を行った。PCR4 および PCR4N の反応条件は 95 °C2 分、(95 °C15 秒、50 °C30 秒、68 °C1 分 30 秒) \times 30 サイクル、4 °C 保持であった。増幅

産物は、Zero Blunt TOPO PCR Cloning Kit (Invitrogen)を用いて pCR-Blunt II-TOPO vector にクローニングし、塩基配列を確認した。

2) アミノ酸配列の解析

決定された塩基配列を基に NCBI の BLAST でデータベースとの相同性を検索し、推定アミノ酸配列の相同性および分子質量の算出、マルチプルアライメントの作製は GENETYX-WIN で行った。また、Clustal W (Thompson *et al.* 1994) による分子系統樹解析は近隣接合法 (Saitou and Nei 1987) によった。

3) 大腸菌における異種発現

3AT cDNA をクローニングしたプラスミドを *Kpn* I で消化し、1 %アガロースゲルで電気泳動し約 1.3kB の断片を回収した。この断片および *Kpn* I で消化し CIP 処理を施した pQE32 ベクター (QIAGEN) を、DNA Ligation Kit < Mighty Mix > (タカラバイオ) でライゲーションし pQE32Ih3AT コンストラクトを作成した。あらかじめ pREP4 が導入されている大腸菌 (菌株 M15) にヒートショック法で pQE32Ih3AT を導入し、25 μg/ml カナマイシンおよび 50 μg/ml カルベニシリンを含む LB 寒天培地上でコロニーを得た。得られたコロニーを 25 μg/ml カナマイシンおよび 50 μg/ml カルベニシリンを含む 2×YTM 培地 (1.6 % Bacto-Trypton, 1 % Yeast Extract, 0.5 % NaCl, 1 % MgSO₄·7H₂O; pH7.0) 1 ml に接種して一晩、37°C で前培養し、その終夜培養物 0.5 ml を 50 ml の 2×YTM 培地 (25 μg/ml カナマイシンおよび 50 μg/ml カルベニシリンを含む) に接種して 37 °C で 4 時間培養した。組換え Ih3AT タンパク質の発現誘導には終濃度 1 mM の IPTG を添加し、25°C で 24 時間振盪培養を行った。培養物を遠心分離して集菌し、SK ミル (トッケン) を用いて菌体を破碎して 1 ml の 0.1M KPi

バッファー（1 mM DTT を含む、pH 6.5）で懸濁した。懸濁液を 5°C、14,000 rpm で 10 分間遠心分離して一次上清を回収し、再度 5 °C、14,000 rpm で 10 分間遠心分離して回収した二次上清を粗酵素液として以後の試験に用いた。

4) SDS-PAGE およびウェスタンプロットティング

SDS-PAGE は Mini Protian III electrophoresis unit (Bio-Rad) を用い、取扱説明書に従って行った。サンプルの電気泳動には 10 %ポリアクリラミドゲルを使用し、Coomassie Brilliant blue R-250 で染色を行った。ウェスタンプロットティングには Mini Trans-blot apparatus (Bio-Rad) を用い、SDS-PAGE ゲル中のタンパク質を Hybond-ECL ニトロセルロースメンブレン (GE Healthcare Bio-Sciences) へ移した。メンブレンは 10%スキムミルクを含む PBS (80 mM Na₂HPO₄、20 mM NaH₂PO₄、100 mM NaCl; pH7.5) 中で 1 時間、室温で振盪してブロッキングを施した。10%スキムミルクを含む PBS で 3,000 倍に希釈した一次抗体溶液 (Anti-His Antibody: GE Healthcare Bio-Sciences) 中にメンブレンを 1 時間浸漬し、0.05 %Tween-20 を含む PBS で 3 度洗浄を行った。続いて、7,500 倍に希釈した二次抗体溶液 (Goat Anti-Mouse IgG (H+L), AP Conjugate: Promega) に 1 時間メンブレンを浸漬して、0.05 %Tween-20 を含む PBS で 3 度洗浄し、NBT/BCIP による発色反応でシグナルを検出した。

5) 組換え酵素の *in vitro* アッセイ

3AT の酵素アッセイに用いた標準反応液の組成は 100 µl 当たり 20 µl 粗酵素液、500 µM petunidin 3RG5G、300 µM p-クマロイルおよび 0.1 M KPi バッファー（1 mM DTT を含む、pH6.5）であった。酵素反応を 30 °C で 20 分間行った後、Folch *et*

al. (1957) の方法によりその反応を停止させた。アッセイにより得られた最終産物のアントシアニンは、HPLC により確認した。HPLC の分析条件は第 2 章に示したとおりである。酵素反応に用いたアントシアニンの標品は petunidin 3RG5G, petunidin 3pCRG5G であり、また *p*-クマロイル CoA は田中良和博士(サントリー株式会社 サントリー研究センター)より分譲して頂いた。

3. 結果および考察

ダッヂアイリスの 3AT cDNA をクローニングするため、当初は 5GT の場合と同様に、他植物種の 3AT cDNA をプローブとしてダッヂアイリス cDNA ライブラリーのスクリーニングを試みたが、成功しなかった。そこで、既知の AAT のアミノ酸配列において広く保存されている領域(モチーフ 2 および 3、Fig. 4-6)を基に PCR によるスクリーニングを行った。6 段階の PCR (Fig. 4-6、PCR1～PCR3N) から得られた最長のコンティグ (*Ih3AT*) は、1,475bp の塩基対からなり、その ORF は 429 のアミノ酸をコードしていた。BLAST 検索の結果、*Ih3AT* 推定アミノ酸配列は植物のアシルトランスフェラーゼのものと一定の相同性を示した。しかし、既知の AAT との類似度は低く、サルビアの *Ss3AT* (AY395719、Suzuki *et al.* 2004)、リンドウの *Gt5AT* (AB010708、Fujiwara *et al.* 1998)、ダリアの *Dv3MaT* (AF489108、Suzuki *et al.* 2002) および シソの *Pf5MaT* (AF405204、Suzuki *et al.* 2001) とそれぞれ 19.8、20.8、21.2 および 19.8% の相同性を示したのみであった。また、*Ih3AT* の推定分子質量は 47,677Da であり、組換え *Ih3AT* のウェスタンプロット分析においても分子質量が約 50kDa であることを確認した (Fig. 4-7)。これらの値は *Ss3AT*、*Gt5AT*、*Dv3MaT* および *Pf5MaT* のもの (50,991、52,739、51,301 および 49,124Da) とも一致していた。

次に、*Ih3AT* の 3AT 酵素活性を確認するため、組換え *Ih3AT* を発現した大腸菌抽出液の可溶性画分を用いて調査を行った。酵素アッセイにはアシル基受容基質として petunidin 3RG5G、アシル基供与基質として *p*-クマロイル-CoA を用い、酵素反応により新規化合物が合成されていることを HPLC 分析により確認した (Fig. 4-8)。クロマトグラフィーの結果から、これらの産物は petunidin 3pCRG5G であると同定された。一方、*p*-クマロイル-CoA を除いた反応液や粗酵素液を加えていない *Ih3AT* 反応液では、これらの産物の生成は認められなかった。以上の結果から、*Ih3AT* が 3AT

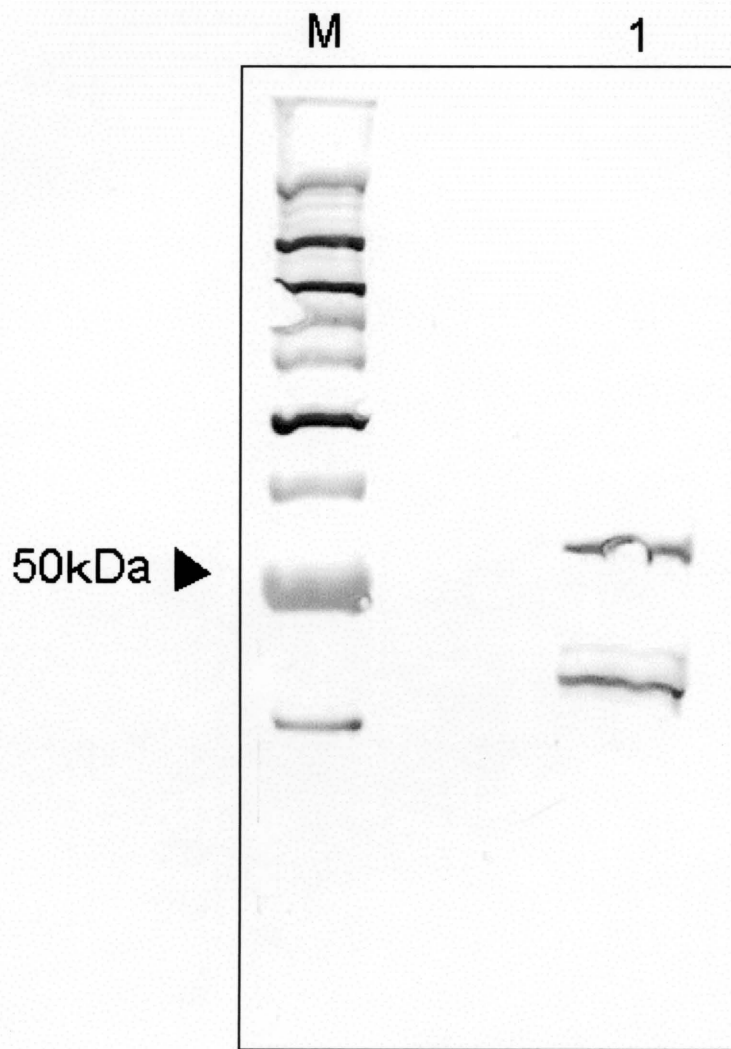


Fig. 4-7. Western blotting of Ih3AT proteins expressed in *E. coli*. Lane M, Molecular markers; Lane 1, a soluble fraction of *E. coli* harboring pQE32Ih3AT. Black arrow shows 50 kDa.

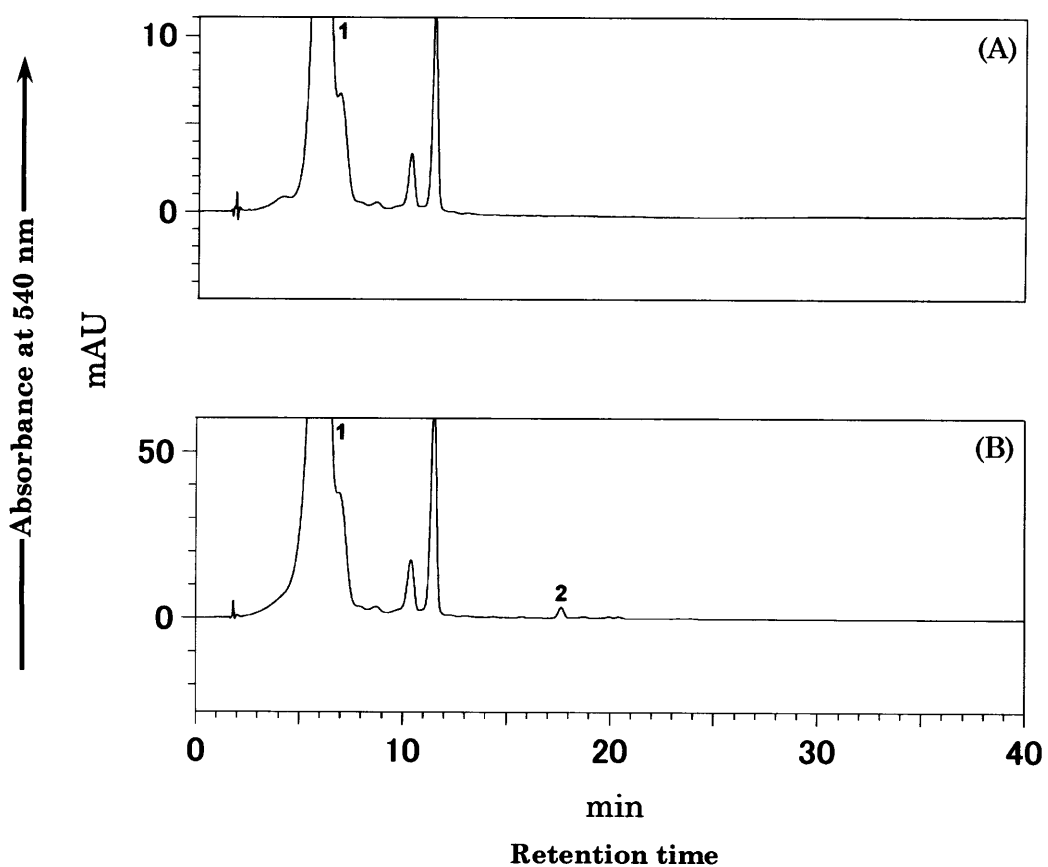


Fig. 4-8. High-performance liquid chromatographic analysis of reaction products catalyzed by Ih3AT.

- (A) A control (*p*-coumaroyl-CoA was omitted from the reaction mixture).
- (B) The reaction product of Ih3AT (*p*-coumaroyl-CoA was added in the reaction mixture).

Peak numbers 1 (Rt: 6.0 min) and 2 (Rt: 17.6 min) show petunidin 3RG5G and petunidin 3pCRG5G, respectively.

活性を有することが示された。本研究は、単子葉植物において *3AT* 遺伝子の単離に成功した最初の報告である。

AAT 間の推定アミノ酸配列におけるマルチプルアライメントの結果、Ih3AT のモチーフ 2 および 3 の F(フェニルアラニン)は Y(チロシン)となっていたが、モチーフ 1 (HXXXD)、モチーフ 2(YFGNC) およびモチーフ 3(DFGWGK)ともにほぼ保存されていた(Fig. 4-9)。フェニルアラニンおよびチロシンは芳香環を有する疎水性アミノ酸であり、その化学的性質が類似していることから、これらのアミノ酸置換はモチーフの構造、さらには酵素の特性にあまり影響を与えないのかもしれない。

しかし、BAHD ファミリーを対象とした、推定アミノ酸配列における分子系統分析では、Ih3AT は AAT のグループよりもむしろタキソールの生合成に関するアセチルトランスフェラーゼのグループにより近いことが示された(Fig. 4-10)。このような例は、サルビアの Ss5MaT2(アントシアニン 5-O-グルコシド-4"-O-マロニルトランスフェラーゼ、AY383734)においても報告されている(Suzuki *et al.* 2004)。Ss5MaT2 はマロニル-CoA からアントシアニンの 5-O-グルコシル残基の 4"-ヒドロキシル基へのマロニル基転移を触媒しているが、Fig. 4-10 に示したように、AAT のサブグループからは系統発生的に離れている。しかも、アライメント解析の結果から Ss5MaT2 はモチーフ 2 に対応する配列を欠くことが判明しているが、その原因については未だ解明されていない。このように AAT において系統発生的に分岐した酵素が同様の機能を有していることは非常に興味深い。

Dv3MaT	1	MDNIPNL TILEHSRISP-PPSTIGHR-SI <u>LTF</u> E <u>I</u> -AW <u>LLF</u> PPVHH-LYFY <u>HFPYSKS-</u>	55
Gt5AT	1	MEQIQMVKVLEKCQVTP-PSDTDV <u>ELSI</u> PV <u>TF</u> EDI-PW <u>HLNK</u> MQS-LLFY <u>DFFPYPRT-</u>	56
Pf5MaT	1	--MTTL-LET <u>CRIL</u> PP-PTD--EVSI <u>PLS</u> <u>EDM</u> -KWL <u>HFH</u> P-LRLL <u>FYDHP</u> CSP <u>KP-</u>	49
Ss3AT	1	--MAITV-LESCL-VAPP <u>PGSVP</u> DQ-TI <u>PLT</u> EDI-NWL <u>HFP</u> ML-QLIFY <u>EFF</u> CSNP-	51
Ih3AT	1	MSFTV <u>TK</u> -MAP-ELLVPAEAT--PNCV-u <u>PLS</u> <u>EMDRSPC</u> LYH <u>VELIFV</u> -YDRGIG-PA	52
Dv3MaT	56	H <u>FTETV</u> IPNLKH <u>SIS</u> TLQHYF <u>P</u> FVGKLIVYPNPH-DSTRKPEIRHVE <u>GDS</u> VALTFA <u>ETT</u>	114
Gt5AT	57	H <u>ELDTV</u> IPNL <u>KAS</u> SL <u>TLK</u> HYV <u>PLSG</u> NLL-MPIKSGEMP-KFQYSR <u>DEGD</u> SITL <u>VIA</u> ESD	114
Pf5MaT	50	QFLDAIV <u>PHLK</u> Q <u>SLS</u> LT <u>KL</u> HY <u>LPVAGN</u> LLY-PSSNTDQKP--RLRCVAGDSVPL <u>TIAEST</u>	106
Ss3AT	52	HFLQTVVPKLQ <u>SLS</u> LT <u>KL</u> HFF <u>PLSA</u> HLVY-PSSLED <u>M</u> -PFYRF <u>RFS</u> -GDSVPV <u>T</u> VSE <u>SG</u>	107
Ih3AT	53	DVIRKAASKV---L-VP--YY-PVAGRIVVNSNTG-E--PEVVC <u>SGEG</u> A--VFVE--AY	97
Dv3MaT	115	I <u>F</u> N <u>DLS</u> ANH <u>PRK</u> CEN <u>FY</u> PLV <u>PP</u> LN <u>AVK</u> E-DY-VTLP <u>VFSV</u> <u>Q</u> V <u>T</u> Y <u>F</u> P <u>N</u> SG <u>I</u> S <u>I</u> GLT-N	171
Gt5AT	115	Q <u>D</u> F <u>DYL</u> KGH <u>Q</u> LV <u>D</u> SN <u>D</u> LH <u>G</u> FVMP <u>P</u> RV <u>I</u> RTM <u>Q</u> DY <u>K</u> V-I <u>P</u> L <u>V</u> A <u>V</u> <u>Q</u> V <u>T</u> V <u>F</u> P <u>N</u> R <u>G</u> I <u>A</u> VALT-A	172
Pf5MaT	107	TDF-DMLTG <u>N</u> HARDAD <u>Q</u> FYDFVAP <u>M</u> PP <u>I</u> AE <u>E</u> FE <u>C</u> KIV <u>P</u> V <u>F</u> SL-Q <u>V</u> T <u>L</u> F <u>P</u> G <u>R</u> G <u>I</u> C <u>I</u> GLS-N	163
Ss3AT	108	ED <u>F</u> Y <u>D</u> FV-GNYN <u>Q</u> SAD <u>K</u> YY <u>Y</u> YV <u>P</u> Q <u>L</u> P <u>V</u> EE <u>E</u> DRKLM <u>K</u> VFAV-Q <u>L</u> T <u>L</u> F <u>P</u> G <u>R</u> G <u>V</u> C <u>G</u> IT-T	164
Ih3AT	98	ADC-SLG--DVKFLDGLP-LAMHKDELLP <u>K</u> ESNED <u>G</u> V1-FLV-Q <u>V</u> T <u>O</u> E <u>K</u> CGGFTVGI <u>K</u> T <u>M</u>	151
Dv3MaT	172	H <u>HS</u> LS <u>D</u> ANTR <u>F</u> G-FL-KA-WASV <u>CET</u> <u>G</u> E <u>D</u> Q <u>P</u> FL <u>K</u> NG <u>S</u> P----P <u>V</u> F <u>D</u> R <u>V</u> V <u>N</u> P <u>Q</u> LYE--NR	222
Gt5AT	173	H <u>HS</u> I <u>D</u> AKS-FVM <u>FI</u> -NA-WAY <u>INK</u> G <u>K</u> DAD <u>L</u> LS <u>A</u> N <u>L</u> ---P <u>S</u> F <u>D</u> R <u>S</u> I <u>I</u> K-DLY <u>G</u> LE <u>E</u> T	224
Pf5MaT	164	H <u>H</u> CL <u>G</u> D <u>AR</u> S <u>V</u> V-G <u>F</u> -L-AW <u>A</u> S <u>I</u> N <u>K</u> F <u>GG</u> -DEEF <u>L</u> SE <u>NG</u> -SL <u>P</u> I <u>F</u> DR <u>S</u> LI <u>K</u> D <u>P</u> LE <u>I</u> D <u>T</u> IF	218
Ss3AT	165	H <u>H</u> CV <u>S</u> D <u>A</u> P <u>S</u> FLS-F-L <u>S</u> SS <u>W</u> S <u>A</u> IS-RGDG <u>D</u> EEL <u>V</u> A <u>Q</u> N <u>C</u> K-S <u>L</u> P <u>V</u> F <u>D</u> RS <u>L</u> IN <u>Y</u> PP <u>K</u> L <u>D</u> SLY	219
Ih3AT	152	<u>H</u> <u>A</u> I <u>F</u> D <u>V</u> G <u>A</u> S <u>Q</u> F <u>M</u> KAI--G <u>E</u> L <u>A</u> K-G <u>H</u> Q <u>Q</u> P <u>T</u> V <u>K</u> P <u>I</u> WS <u>R</u> D <u>A</u> I <u>P</u> N--R <u>Q</u> AN <u>P</u> N <u>P</u> N <u>H</u> N-Q <u>L</u> S	203
Motif 1			
Dv3MaT	223	L-N <u>Q</u> TR--L <u>G</u> TF--Y <u>Q</u> A <u>P</u> SLV <u>G</u> S <u>S</u> SDR <u>V</u> R <u>A</u> T <u>F</u> V <u>L</u> ART <u>H</u> I <u>S</u> G <u>L</u> K <u>K</u> Q <u>V</u> L <u>T</u> Q <u>L</u> --PM-LEY	272
Gt5AT	225	F <u>W</u> N <u>E</u> MQ <u>D</u> V <u>E</u> M <u>F</u> S <u>R</u> FG--SK <u>P</u> PR <u>F</u> N-K <u>V</u> R <u>A</u> T <u>V</u> L <u>S</u> LA <u>E</u> I <u>Q</u> K <u>L</u> K <u>N</u> K <u>V</u> L <u>N</u> -L <u>R</u> G <u>S</u> E <u>P</u> T-IRV	279
Pf5MaT	219	WKVLRN <u>I</u> PK <u>SS</u> FP-L <u>P</u> T <u>N</u> R <u>V</u> R <u>A</u> T <u>F</u> V <u>L</u> S <u>Q</u> S <u>D</u> I <u>K</u> R <u>L</u> K <u>H</u> -I <u>A</u> NN <u>N</u> L <u>V</u> Q <u>P</u> S <u>S</u> -----F-V-V	269
Ss3AT	220	WKNA <u>Q</u> R <u>M</u> P <u>I</u> Q <u>S</u> R-H <u>P</u> S <u>M</u> P <u>T</u> N <u>R</u> I <u>R</u> S <u>T</u> Y <u>I</u> F <u>T</u> Q <u>S</u> Q <u>I</u> Q <u>K</u> L <u>K</u> S <u>S</u> I <u>Q</u> E-KLP <u>N</u> S <u>R</u> IT--SF-VAI	274
Ih3AT	204	L <u>P</u> PP <u>G</u> AL <u>P</u> S <u>I</u> P <u>A</u> F <u>Q</u> F <u>Q</u> HY <u>I</u> I <u>D</u> ISP-DYVS <u>Q</u> -----L <u>K</u> N <u>E</u> FAA <u>A</u> T-GR--KCT-E-FD <u>V</u> LA	251
Dv3MaT	273	TSS <u>F</u> T <u>V</u> TC <u>GY</u> I <u>W</u> SC <u>I</u> V <u>K</u> SL <u>V</u> N <u>M</u> -EKK <u>G</u> ED--E <u>L</u> E <u>Q</u> F-I <u>V</u> S <u>G</u> C <u>R</u> S <u>R</u> L <u>D</u> P <u>P</u> PE-N <u>Y</u> F <u>G</u> N	327
Gt5AT	280	TT-F <u>TM</u> TC <u>GY</u> V <u>W</u> TC <u>M</u> V <u>K</u> S <u>K</u> D <u>V</u> V <u>S</u> EE <u>S</u> ND <u>E</u> NE <u>L</u> E <u>Y</u> F-S <u>E</u> T <u>A</u> D <u>C</u> R <u>G</u> L <u>L</u> T <u>PP</u> C <u>P</u> P-N <u>Y</u> F <u>G</u> N	336
Pf5MaT	270	A <u>AA</u> -----Y <u>W</u> SC <u>M</u> V <u>K</u> S <u>G</u> D <u>G</u> E <u>AN</u> A <u>N</u> -----E <u>L</u> --F-V <u>IP</u> A <u>D</u> A <u>G</u> R <u>T</u> N <u>PP</u> V <u>P</u> A-N <u>Y</u> F <u>G</u> N	314
Ss3AT	275	A-A-----Y <u>W</u> ST <u>L</u> A <u>K</u> SL <u>R</u> S <u>V</u> S <u>A</u> D <u>N</u> D <u>D</u> G <u>D</u> A-F-L <u>I</u> P <u>D</u> I <u>R</u> P <u>R</u> L <u>D</u> P <u>A</u> V <u>P</u> G-N <u>Y</u> F <u>G</u> N	323
Ih3AT	252	--AKV-----Q <u>Q</u> CR <u>T</u> R <u>A</u> I <u>N</u> FD <u>K</u> -D <u>V</u> Q <u>V</u> H <u>L</u> --S--F <u>P</u> V <u>N</u> V <u>R</u> A <u>E</u> I <u>R</u> -H <u>I</u> L <u>P</u> P-PEG <u>YY</u> G <u>N</u>	296
Motif 2			
Dv3MaT	328	C <u>S</u> A <u>P</u> C <u>I</u> V <u>T</u> I <u>K</u> N-G <u>V</u> L <u>K</u> G <u>E</u> N <u>F</u> -V <u>M</u> A <u>A</u> K <u>L</u> I <u>G</u> E <u>G</u> -I <u>S</u> K <u>M</u> V <u>N</u> -K <u>G</u> --G <u>I</u> LE <u>Y</u> A <u>D</u> R <u>W</u> Y <u>D</u> G <u>F</u> K	380
Gt5AT	337	CL <u>A</u> S <u>C</u> V <u>A</u> K <u>A</u> T <u>H</u> K <u>E</u> -L <u>V</u> G <u>D</u> K <u>G</u> L-L <u>V</u> A <u>V</u> A <u>I</u> G <u>E</u> A-I <u>E</u> K <u>R</u> L <u>H</u> -N <u>E</u> K <u>G</u> --V <u>L</u> A <u>D</u> A <u>K</u> T <u>W</u> L <u>S</u> E <u>S</u> N	389
Pf5MaT	315	CI-VGGVVVK <u>E</u> H <u>E</u> K <u>M</u> G <u>AG</u> NEG--F <u>V</u> I <u>AA</u> E <u>A</u> I <u>AGE</u> I <u>K</u> N <u>K</u> M <u>N</u> -D <u>K</u> E--E <u>I</u> L <u>K</u> G <u>A</u> E <u>N</u> W <u>L</u> S <u>E</u> I <u>W</u>	367
Ss3AT	324	CS <u>LF</u> -A <u>L</u> P <u>R</u> I <u>G</u> R <u>R</u> E <u>L</u> G <u>G</u> E <u>EG</u> M-F <u>AA</u> A <u>K</u> A <u>A</u> -A <u>E</u> A <u>I</u> E <u>K</u> R <u>T</u> S-D <u>KK</u> --I <u>L</u> E <u>S</u> V <u>E</u> K <u>W</u> S <u>GE</u> I <u>R</u>	375
Ih3AT	297	CI <u>Q</u> PR <u>Y</u> L <u>K</u> A <u>Q</u> SEH-V <u>A</u> E-A <u>L</u> F <u>E</u> V <u>V</u> D <u>A</u> I <u>T</u> --V <u>A</u> -K <u>E</u> D <u>A</u> T <u>A</u> -K <u>F</u> W <u>R</u> -M <u>K</u> -G <u>D</u> P <u>R</u> E-ERP	347
Dv3MaT	381	-I <u>P</u> A-R <u>K</u> -M <u>G</u> I <u>S</u> G <u>T</u> P <u>K</u> L <u>N</u> F <u>D</u> I <u>F</u> GW <u>G</u> K <u>AM</u> K <u>Y</u> E <u>V</u> V <u>S</u> I <u>D</u> Y <u>S</u> A <u>S</u> V <u>S</u> I <u>S</u> A <u>C</u> K <u>E</u> S <u>A</u> Q <u>D</u> F-E <u>I</u> G <u>V</u>	436
Gt5AT	390	GIPS-K <u>R</u> F <u>L</u> G <u>I</u> T <u>G</u> S <u>P</u> K <u>F</u> D <u>S</u> Y <u>G</u> V <u>D</u> F <u>GW</u> G <u>K</u> P <u>A</u> K <u>F</u> D <u>I</u> T <u>S</u> V <u>D</u> Y <u>A</u> E <u>L</u> I <u>Y</u> V <u>I</u> Q <u>S</u> R <u>D</u> F <u>E</u> K <u>G</u> V-E <u>I</u> G <u>V</u>	447
Pf5MaT	368	KCMG-M <u>S</u> V <u>L</u> G <u>I</u> S <u>G</u> S <u>P</u> K <u>F</u> D <u>L</u> S <u>N</u> A <u>D</u> F <u>GW</u> G <u>K</u> K <u>A</u> R <u>K</u> L <u>E</u> V <u>V</u> S <u>I</u> D <u>G</u> E <u>K</u> Y <u>T</u> M <u>S</u> L <u>C</u> N <u>S</u> -DC--GLE <u>V</u> G <u>L</u>	423
Ss3AT	376	EAV <u>Q</u> -K <u>S</u> F <u>F</u> S <u>V</u> A <u>G</u> T <u>T</u> R <u>M</u> N <u>Q</u> Y <u>G</u> A <u>D</u> F <u>GW</u> G <u>K</u> K <u>A</u> R <u>K</u> Q <u>E</u> I <u>L</u> S <u>V</u> D <u>G</u> E <u>K</u> Y <u>A</u> M <u>T</u> L <u>C</u> K <u>A</u> R <u>D</u> F <u>E</u> G <u>G</u> LE <u>V</u> C <u>M</u>	434
Ih3AT	348	AAADTYTVLN <u>V</u> S <u>W</u> D <u>R</u> R <u>V</u> G <u>I</u> F <u>D</u> V <u>D</u> Y <u>GW</u> G <u>K</u> P <u>R</u> S <u>I</u> V <u>P</u> T <u>N</u> D <u>E</u> --K <u>H</u> -IG <u>S</u> C <u>F</u> L <u>L</u> N <u>S</u> P <u>A</u> P <u>K</u> -GV	403
Motif 3			
Dv3MaT	437	CF <u>P</u> S <u>M</u> QM-E <u>A</u> -F <u>G</u> K <u>I</u> F <u>N</u> D <u>G</u> L <u>E</u> S <u>A</u> I <u>A</u> I <u>S</u> -	460
Gt5AT	448	SL <u>P</u> K <u>I</u> H <u>M</u> -D <u>A</u> -F <u>A</u> K <u>I</u> F <u>E</u> E <u>G</u> F <u>C</u> -S <u>L</u> S--	469
Pf5MaT	424	SL <u>P</u> G <u>E</u> R <u>M</u> -E <u>A</u> -F <u>A</u> A <u>I</u> F <u>A</u> D <u>G</u> L <u>K</u> I <u>D</u> S <u>S</u> --	447
Ss3AT	435	SL <u>P</u> N <u>H</u> I <u>M</u> -K <u>F</u> D <u>S</u> -Y <u>I</u> --A <u>K</u> P <u>A</u> C <u>D</u>	455
Ih3AT	404	RIMTN <u>C</u> I <u>V</u> K <u>E</u> H <u>Y</u> E <u>A</u> -F <u>D</u> E <u>R</u> M <u>K</u> K <u>M</u> A <u>P</u> L <u>M</u>	429

Fig. 4-9. Multiple alignment of deduced amino acid sequences of AATs. Framed letters indicate identical amino acids. The letters indicated same color mean similar amino acid residues. The underline shows the common motif found in AATs. GenBank accession numbers of the AATs: Dv3MaT (AF489108); Gt5AT (AB010708); Pf5MaT (AF405204); Ss3AT (AY395719).

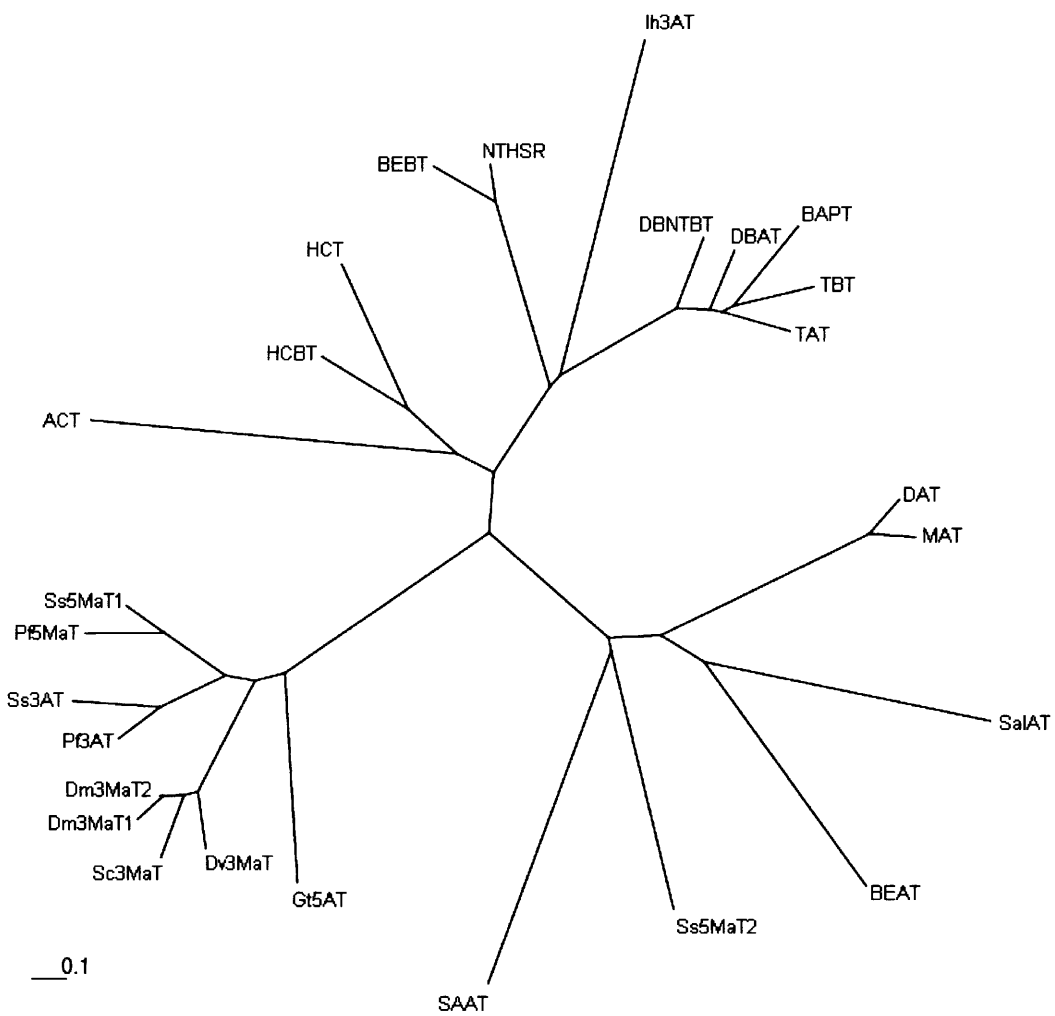


Fig. 4-10. A molecular phylogenetic tree of the deduced amino sequences of Ih3AT and other acyltransferases belonging to the BAHD family. The tree was constructed by the neighbor-joining method. The lengths of the lines indicate the relative distances between nodes. Enzymes used for the alignment were as follows: Ih3AT (this study), Pf5MaT (AF405204), Gt5AT (AB010708), Pf3AT (AB029340), Ss5MaT1 (AF405707), Ss5MaT2 (AY383734), Sc3MaT (AY190121), Dm3MaT1 (AY298809), Dm3MaT2 (AY298810), Dv3MaT (AF489108), Ss3AT (AY395719), HCBT (Z84386), DAT (AF053307), MAT (AF253415), HCT (AJ507825), ACT (AJ507825), NTSHR (T03274), BEBT (AF500200), BAPT (AY082804), TBT (AF297618), DBAT (AF193765), TAT (AF190130), DBNTBT (AF466397), BEAT (AF043464), SAAT (AF193789), and SalAT (AF339913).

4. 摘要

ダッチャアイリスのアントシアニンアシル化酵素、3AT をコードする cDNA を単離・解析するため、その花蕾から構築した cDNA ライブラリーをスクリーニングし、*3AT* 遺伝子のクローニングと機能発現解析を行った。

得られたダッチャアイリスの *3AT* cDNA (*Ih3AT*) は 1,475bp の塩基対からなり、その ORF は 429 のアミノ酸をコードしていた。BLAST 検索の結果、*Ih3AT* 推定アミノ酸配列は他植物種のアシルトランスフェラーゼのものと一定の相同意を示したが、既知のアントシアニンアシルトランスフェラーゼ(AAT)との相同意は低かった。また、*Ih3AT* の推定分子質量(47,677Da)は既知の AAT のものとほぼ一致していた。組換え *Ih3AT* 粗酵素抽出液、*p*-クマロイル-CoA および petunidin 3RG5G を用いた酵素アッセイの結果、反応産物として petunidin 3pCRG5G が合成されることを確認した。一方、コントロール区では petunidin 3pCRG5G の生成は認められなかったことから、*Ih3AT* が 3AT 活性を有することが示された。